

# بررسی شکست الکتریکی لایه‌های اکسید آندی ایجاد شده بر روی تیتانیم در محلولهای پایه فسفات

عبدالله افشار<sup>\*</sup> و محمدرضا واعظی<sup>\*\*</sup>

دانشکده مهندسی و علم مواد، دانشگاه صنعتی شریف

(دریافت مقاله: ۸۱/۱/۲۴ - دریافت نسخه نهایی: ۸۲/۷/۱۹)

چکیده - تیتانیم فلز بسیار فعالی بوده و در صورتی که در معرض هوا و یا محیطهای حاوی اکسیژن قرار گیرد، یک لایه‌نازک اکسیدی بر روی سطح آن تشکیل شده و در نتیجه مقاومت به خوردگی آن را افزایش می‌دهد. تشکیل این لایه به روش الکتروشیمیایی توسط عملیات آندایزینگ نیز امکان‌پذیر است. در این مقاله، تیتانیم در محلولهای آبی پایه فسفاتی نظری: اسید فسفریک، فسفات هیدروژن دی سدیم و فسفات دی هیدروژن سدیم با غلظتها مختلف دردهای ۳۵ درجه سانتیگراد از روش گالوانواستاتیک در دانسیته جریان ۹/۷۵ میلی آمپر بر سانتیمتر مربع آندایز شده است. نتایج به دست آمده از منحنیهای پتانسیل - زمان نشان می‌دهند که لایه‌های آندایز ایجاد شده، فشرده و ضخامت آنها تابع نوع و غلظت محلول است. ساختار لایه‌های آندایز توسط تکنیکهای تفرق اشعه ایکس<sup>۱</sup> و میکروسکوب الکترونی روبشی<sup>۲</sup> بررسی و نشان داده شده است که این ساختارها آمورف‌اند. تأثیر غلظت، ترکیب شیمیایی محلول و مقاومت الکتریکی در ولتاژ شکست با توجه به مدل تجمع و تسریع الکترونی اینوپیزو بررسی و نتایج نشان داد که با افزایش غلظت محلول، ولتاژ شکست کاهش می‌یابد. مهمترین پارامتر مؤثر در کاهش ولتاژ شکست، افزایش غلظت الکترولیت است که سبب افزایش جریان الکترونی اولیه (۰L) می‌شود.

واژگان کلیدی: تیتانیم، آندایزینگ، شکست الکتریکی، محلول فسفات، اکسید آندی

## Evaluation of Electrical Breakdown of Anodic Films on Titanium in Phosphate-base Solutions

A. Afshar and M.R. Vaezi

Department of Materials Science and Engineering, Sharif University of Technology

**Abstract:** Titanium is a highly reactive metal so that a thin layer of oxide forms on its surface whenever exposed to the air or other environments containing oxygen. This layer increases the corrosion resistance of titanium. The oxide film is electrochemically formed through anodizing. In this study, anodizing of titanium was performed in phosphate-base solutions such as  $H_3PO_4$ ,  $NaH_2PO_4$ , and  $Na_2HPo_4$  at  $9.75mA/cm^2$  and  $35^\circ C$  under galvanostatic conditions. The Potential-Time curves in the above solutions show that the anodic films formed on titanium are compact and their thickness depends on the solution type and concentration. The SEM and XRD techniques show that these layers are amorphous. In this paper, the effect of electrolyte concentration, composition and resistivity on breakdown voltage have been discussed in terms of Ikonopisov electron avalanche

\*\* - دانشجوی دکترا

\* - دانشیار

**breakdown model. This model shows that the major factor contributing to the decrease in breakdown voltage is the increased electrolyte concentration leading to increased primary electronic current.**

**Keywords:** Titanium, Anodizing, Electrical Breakdown, Phosphate Solutions, Andic oxide

کم شده که نشان دهنده شکست لایه اکسیدی است [۱۱].

اینپیزو و همکارانش یک مدل تئوری را برای شکست الکتریکی لایه‌های آندایز شده پیشنهاد کرده‌اند که این مدل، مبنی بر تجمع و تسریع (Avalanche) الکترونها در فصل مشترک اکسید - الکتروولیت است [۱۲].

بر اساس این مدل، رابطه بین ولتاژ شکست با مقاومت و غلظت الکتروولیت و معادله بین دانسیته جریان الکترونی ( $J_e$ ) و مقاومت الکتروولیت توسط معادلات ذیل بیان می‌شوند:

$$V_B = a_C + b_C \log C \quad (1)$$

$$V_B = a_B + b_B \log \rho \quad (2)$$

$$\log J_e = \log a_e - b_e \log \rho \quad (3)$$

در معادلات فوق،  $V_B$ ،  $a_e$ ،  $b_e$ ،  $a_B$ ،  $b_B$ ،  $a_C$  و  $b_C$  مقادیر ثابتی‌اند. در غلظت الکتروولیت و ولتاژ شکست،  $C$  غلظت الکتروولیت و  $\rho$  مقاومت الکتروولیت است. آقای اینپیزو از معادله (۲) مقادیر ثابت  $a_B$  و  $b_B$  را برای یک الکتروولیت (با غلظت و دمای مشخص) در دانسیته جریان مشخص به صورت زیر نتیجه‌گیری کرد:

$$a_B = (\epsilon_m/re)(\log J_B - \log a_e) \quad (4)$$

در این معادله  $\epsilon_m$  انرژی آستانه‌ای برای یونیزاسیون برخورده‌است،  $r$  ثابت ترکیب مجدد،  $J_B$  مقدار دانسیته جریان الکترونی در یک ضخامت مشخص برای تخریب لایه اکسیدی،  $e$  شارژ الکترونی و  $a_e$  و  $b_e$  ثوابت وابستگی جریان الکترونی به مقاومت‌اند. ثابت  $r$  و  $\epsilon_m$  برای تیتانیم آندایز شده مقادیر مشخصی‌اند. از معادله (۴) می‌توان معادله (۵) را به دست آورد:

$$b_B/b_e = 2.303 \epsilon_m/re \quad (5)$$

در دما و دانسیته جریان ثابت و ترکیب مشخص الکتروولیت، طرف راست معادله (۵) ثابت است. نسبت  $b_B/b_e$  برای محلول اسید فسفریک مقدار  $993/9$ ، برای محلول فسفات دی هیدروژن

## ۱- مقدمه

آندازیزینگ تیتانیم را می‌توان در محلولهای اسیدی و یا قلیانی تحت شرایط جریان ثابت (گالوانوستات) و پاتنسیل ثابت (پاتنسیوستات) انجام داد [۱]. با توجه به نوع کاربرد، ضخامت‌های کم و یا زیاد لایه‌های آندایز قابل ایجادند [۴-۲]. آندایزینگ با ضخامت کم اکثراً در محلولهای اسیدی انجام می‌شود [۵]. پوشش‌های آندایز رنگی (از زرد تا آبی لاجوردی) در محلولهای اسید سولفوریک و یا اسید فسفریک قابل ایجادند. این نوع پوششها عمدتاً در مواد کاشتنی در بدنه و یا جواهرسازی کاربرد دارند [۶ و ۷]. آنالیز طیف سنجی الکترون‌اوژه<sup>۳</sup> لایه‌های آندایز شده در محلول اسید فسفریک نشان داده است که آنها شامل درصد کمی فسفرند. لایه‌های آندایز ایجاد شده در محلولهای پایه فسفات نظیر اسید فسفریک، فسفات دی هیدروژن سدیم و فسفات هیدروژن دی سدیم فشرده و از لحاظ الکتریکی عایق مناسبی بوده و ضخامت آنها نسبت به محلول اسید سولفوریک بیشتر است [۸].

در عملیات آندایزینگ، لایه ایجاد شده در یک ولتاژ مشخص (ولتاژ شکست) دارای یک ضخامت بحرانی بوده و در بالاتر از آن لایه شکسته می‌شود. از کاهش نرخ افزایش ولتاژ [۹]، ظهور جرقه‌های مرئی [۱۰]، ترک خوردن آشکار لایه و بالا و پایین رفتن سریع ولتاژ [۱۱]، توسط محققان مختلف برای تعریف ولتاژ شکست استفاده شده‌است. شکست الکتریکی لایه‌های اکسید آندی تیتانیم در محلولهای پایه فسفات از روی منحنیهای عکس ظرفیت - شارژ عبوری (Q - 1/C) را می‌توان مورد بررسی قرار داد. این منحنیها در ابتدا به صورت خطی (رشد لایه) و سپس ثابت می‌مانند که نشان دهنده رسیدن به ضخامت حدی است. شارژ مورد نیاز برای رسیدن به این حد، به طور جزیی با پاتنسیل اعمالی زیاد می‌شود و سپس ۱/C

معادله اینوپیزو نیز به دست آورده شده است. همچنین اثربخشتر کتریکی بر ساختار لایه‌های آندایز مورد بررسی قرار گرفته است.

## ۲- روش تحقیق

### ۲-۱- آماده سازی نمونه‌ها

نمونه‌هایی از جنس تیتانیم خالص (تجاری) با ترکیب شیمیایی ارائه شده در جدول (۱) با ابعاد  $25 \times 20 \times 20$  mm<sup>3</sup> تهیه و پس توسط استن چربی گیری و پس از شستشو با آب، توسط اسید فلوروریدریک ۴۰ گرم بر لیتر اسید شویی شده‌اند. پس از چربی گیری و اسید شویی، نمونه‌ها توسط کاغذ سنباده با شماره‌های ۳۲۰، ۵۰۰، ۸۰۰ و ۱۰۰۰ و پس با پودر آلومینیم ۰/۰۵ و ۰/۳ میکرون صیقل داده شده و پس از شستشو با آب، با هوای گرم خشک شده‌اند.

### ۲-۲- آزمایشات

برای انجام آندایزینگ تیتانیم از محلولهای اسید فسفریک، فسفات‌های هیدروژن سدیم و فسفات هیدروژن‌دی سدیم با غلظت‌های ۰/۰۱، ۰/۰۵، ۰/۰۱ و ۰/۰۵ مولار استفاده شده است. عملیات آندایزینگ در یک سل مکعبی شکل از جنس فولاد زنگ نزن ۳۱۶ با ابعاد  $10 \times 10 \times 5$  cm<sup>3</sup> (به عنوان کاتد) که حاوی محلول آندایز و الکترودهای تیتانیم (نمونه) است به صورت گالوانوستات در دانسیته جریان ۷/۷۵ آمپر بر سانتیمتر مربع انجام شده است. در طی مراحل آندایزینگ، منحنيهای تغییرات پتانسیل نسبت به زمان نیز رسم شده‌اند. مدت زمان آندایزینگ در هر یک از محلولهای فوق به اندازه‌ای است که پتانسیل به ولتاژ شکست برسد (زمان بهینه).

برای بررسی اثر عملیات حرارتی در ساختار لایه‌ها، تعدادی از نمونه‌ها پس از آندایزینگ در دمای ۰/۰۰ درجه سانتیگراد به مدت یک ساعت تحت اتمسفر آرگون حرارت داده شده و در داخل کوره سرد شده‌اند. ضخات لایه‌های آندایز شده، توسط میکروسکوب الکترونی اندازه‌گیری شده است. از میکروسکوب

سدیم مقدار ۷۵۴/۹ و برای فسفات هیدروژن دی سدیم مقدار ۷۴۷/۵ است که این نسبت تقریباً ثابت است [۱۱].

طبق مدل اینوپیزو، دانسیته جریان الکترونی در آند از معادله زیر بدست می‌آید:

$$J_e = J_0 \exp(\alpha d) \quad (6)$$

در این معادله،  $J_0$  دانسیته جریان الکترونی تزریق شده به باند هدایت لایه اگیدی از فصل مشترک اکسید - الکتروولیت و  $E = reE/\epsilon_m$  میدان و  $d$  فاصله طی شده توسط الکترونهای اولیه برای رسیدن به آند) ضربی یونیزاسیون برخورده است. با تقریب می‌توان فرض کرد که  $d$  معادل با ضخامت کل لایه است که به طور خطی با ولتاژ در حین آندایزینگ در جریان ثابت افزایش می‌یابد. از این رو  $d = V/E$  ثابت آندایزینگ است). مقادیر  $J_0$  از عرض از مبدأ منحنیهای خطی  $\log J_e$  بر حسب  $V$  (وقتی  $d=0$  و  $V=0$  و  $J_0=J_e$ ) به دست می‌آید.

با استفاده از معادله (۴) و  $\alpha = reE/\epsilon_m$  معادله زیر به دست می‌آید:

$$\alpha = 2.303 E b_e / b_B \quad (7)$$

با فرض آنکه وقتی جریان تجمع و تسریع الکترونی به کسر مشخصی از جریان کلی آندایزینگ ( $J_1$ ) بر سرشارشکست اتفاق می‌افتد، می‌توان تغییرات ولتاژ شکست را نسبت به غلظت و ترکیب الکتروولیت براورد کرد. تحت این شرایط، معادله به صورت زیر نوشته می‌شود:

$$J_0 \exp(\alpha d) = Z J_1 \quad (8)$$

$$Z J_1 / J_0 = \exp(\alpha d) \\ d = (2.303/\alpha) \log Z J_1 / J_0 \\ V_B = (2.303 E / \alpha) \log Z J_1 / J_0 \quad (9)$$

که معادله (۹)، به معادله اینوپیزو موسوم است [۱۱]. آبلاء و همکارانش از مدل اینوپیزو برای تشریح جزئیات پدیده شکست استفاده کرده‌اند. از آنجایی که مدل‌های پیشنهاد شده برای توضیح شکست الکترونی لایه‌های آندایز، مستلزم تزریق الکترونها از الکتروولیت به لایه اکسیدی است، لذا نقش جریان الکترونی بسیار مهم است [۹]. در این تحقیق، اثر دانسیته جریان، غلظت و مقاومت الکتروولیت بر ولتاژ شکست لایه آندایز بررسی و ثوابت

منحنیهای تغیرات دانسیته جریان الکترونی نسبت به غلظت محلولها، در شکل (۲) نشان داده شده‌اند. همان‌طوری که ملاحظه می‌شود با افزایش غلظت محلول، مقاومت آن کاهش یافته و در نتیجه دانسیته جریان الکترونی افزایش می‌یابد. علت این تغیرات به این صورت بیان می‌شود که: در ابتدای فرایند آندایزینگ، یک جریان الکترونی اولیه بماند هدایت لایه اکسیدی تزریق می‌شود. از آنجاییکه ضخامت لایه اکسیدی کم است، شدت میدان در فصل مشترک لایه اکسیدی و محلول بسیار بالاست و بنابراین در این ناحیه، الکترونهای تزریق شده به لایه اکسیدی شتاب دارمی‌شوند. انرژی الکترونهای شتابدار شده به اندازه‌ای است که می‌تواند الکترونهای دیگر را نیز شتابدار کند. با ادامه فرایند آندایزینگ، الکترونهای بیشتری به لایه اکسیدی تزریق شده و تجمع و تسریع الکترونی اتفاق می‌افتد و باعث شکست الکترونی لایه اکسیدی می‌شود. نقش جریان الکترونی در شکست الکتریکی لایه توسط محققان دیگر نیز به اثبات رسیده است [۱۳ و ۱۴]. با افزایش غلظت محلول، شکست لایه اکسیدی در پتانسیلهای کمتری اتفاق می‌افتد و بنابراین ولتاژ شکست با افزایش غلظت محلول کاهش می‌یابد.

منحنیهای تغیرات ولتاژ شکست نسبت به غلظت و مقاومت محلولهای اسید فسفریک، فسفات دی هیدروژن سدیم و فسفات هیدروژن دی سدیم به ترتیب در شکل‌های (۵) و (۶) نشان داده شده‌اند.

همان‌گونه که ملاحظه می‌شود این منحنیها خطی بوده با استفاده از این منحنیها می‌توان مقادیر  $a_A$ ,  $a_B$ ,  $b_A$  و  $b_B$  را ارائه شده در معادلات (۱) و (۲) را بدست آورد. مقادیر ثابت فوق برای محلولهای پایه فسفات در جدول (۳) ارائه شده‌اند.

دانسیته جریان الکترونی ( $J$ ) در لایه‌های اکسید دیتانیم در تماس با محلولهای مختلف (در ولتاژ و دمای ثابت) بالافزایش غلظت الکتروولیت افزایش یافته و با تغییر ترکیب الکتروولیت در همان غلظت تغییر می‌کند. تغییرات  $J$  نسبت به غلظت و ترکیب الکتروولیت به دلیل تغیرات در مقاومت الکتریکی محلول است. شکل (۷)، منحنی تغیرات دانسیته جریان الکترونی را

جدول ۱- ترکیب شیمیایی دیتانیم مورد استفاده

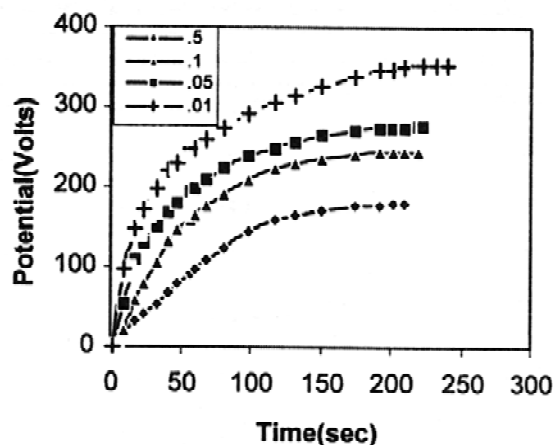
| پایه | ۰/۳۷ | ۰/۲۲ | اکسیژن | کربن | تیتانیم |
|------|------|------|--------|------|---------|
|      |      |      |        |      |         |

الکترونی رویشی و تفرق اشعه ایکس برای بررسی مورفولوژی، ساختار و تخلخل لایه‌ها استفاده شده است. برای اندازه‌گیری دانسیته جریان الکترونی در غلظتهاي مختلف محلولهای آندایز، نمونه‌هایی در دانسیته جریان  $975 \text{ mA/cm}^2$  تحت شرایط پتانسیواستات انجام شده و تغیرات جریان نسبت به زمان ثبت شده است (این تغیرات با نرخ کمی کاهش یافته و سپس به مقدار ثابت می‌رسد. این مقدار ثابت تحت عنوان دانسیته جریان الکترونی گزارش شده است).

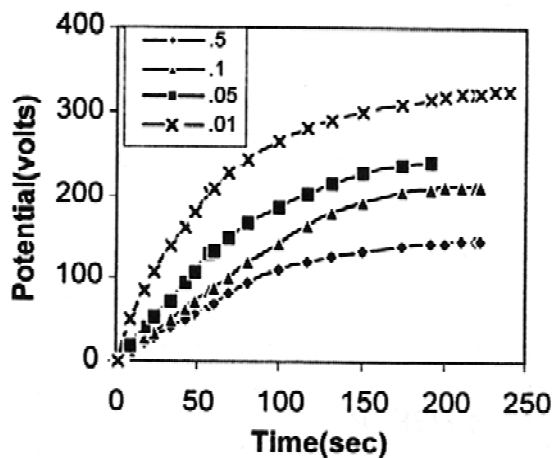
### ۳- نتایج و بحث

منحنیهای تغیرات پتانسیل نسبت به زمان آندایزینگ در دانسیته جریان ثابت  $975 \text{ میلی آمپر}$  بر سانتیمتر مریع در غلظتهاي مختلف محلولهای اسید فسفریک، فسفات هیدروژن دی سدیم و فسفات دی هیدروژن سدیم در شکل‌های (۱) تا (۳) نشان داده شده‌اند. همان‌گونه که ملاحظه می‌شود، در محلولهای مختلف در یک غلظت ثابت، بالافزایش زمان آندایزینگ، پتانسیل به صورت نمایی افزایش یافته و لیکن در یک محلول مشخص، با افزایش غلظت، پتانسیل کاهش می‌یابد. با توجه به مکانیزم تشکیل لایه‌های آندایز، با افزایش پتانسیل، ضخامت لایه به صورت فشرده تا یک پتانسیل مشخص افزایش یافته و سپس به دلیل افزایش مقاومت لایه و گرم شدن آن، لایه ترک دار شده در نتیجه مقاومت آن کاهش یافته و سبب افت پتانسیل می‌شود. [۸].

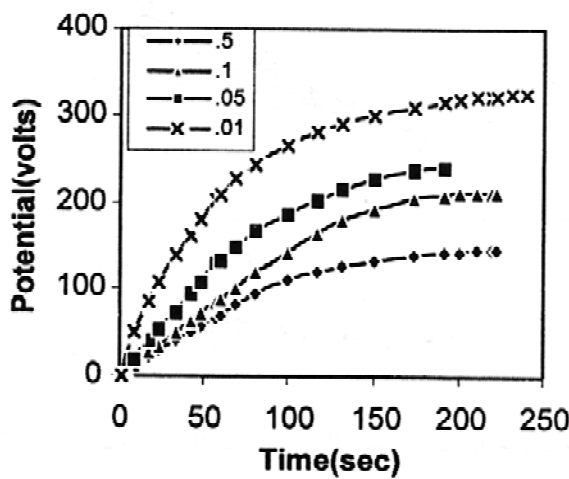
مقاومت الکتروولیتها، ولتاژ شکست و دانسیته جریان الکترونی اندازه‌گیری شده در محلولهای مورد آزمایش در جدول (۲) ارائه شده‌اند. همان‌طوری که ملاحظه می‌شود، ولتاژ شکست بستگی به نوع و غلظت محلول داشته و بالافزایش غلظت، ولتاژ شکست کاهش می‌یابد.



شکل ۱- منحنیهای تغیرات پتانسیل نسبت به زمان آندایزینگ در دانسیته جریان ثابت ۹/۷۵ میلی آمپر بر سانتیمتر مربع در غلظتهاي مختلف محلول اسید فسفریك



شکل ۲- منحنیهای تغیرات پتانسیل نسبت به زمان آندایزینگ در دانسیته جریان ثابت ۹/۷۵ میلی آمپر بر سانتیمتر مربع در غلظتهاي مختلف محلول فسفات هیدروژن دي سدیم

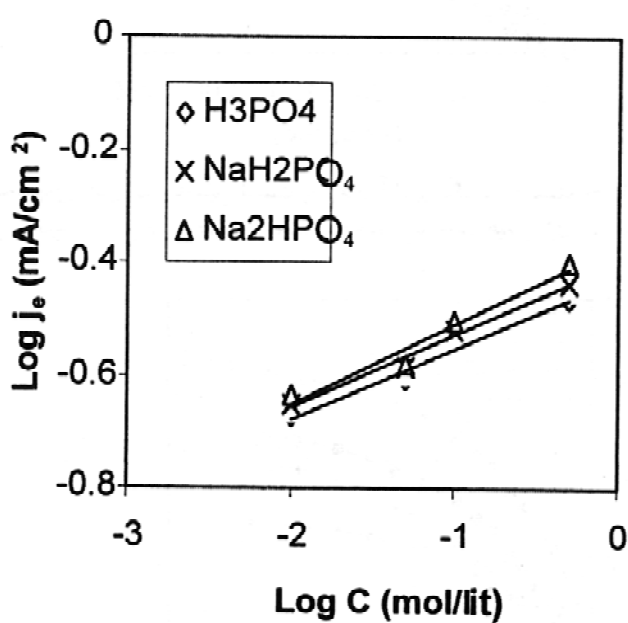


شکل ۳- منحنیهای تغیرات پتانسیل نسبت به زمان آندایزینگ در دانسیته جریان ثابت ۹/۷۵ میلی آمپر بر سانتیمتر مربع در غلظتهاي مختلف محلول فسفات دي هیدروژن سدیم

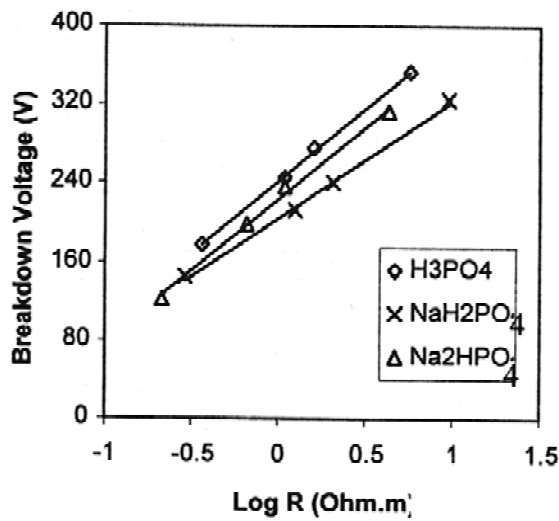
جدول ۲- مقاومت محلولها و ولتاژ شکست و دانسیته جریان الکترونی اندازه‌گیری شده در آنها

| مقادیر الکتروولیت $\Omega \cdot m$ | دانسیته جریان الکترونی ( $mA/cm^2$ ) | ولتاژ شکست (ولت) | غلظت محلول (مولار) | محلول آندایزینگ       |
|------------------------------------|--------------------------------------|------------------|--------------------|-----------------------|
| ۰/۶۴۷                              | ۰/۲۱۱*                               | ۳۵۴/۲            | ۰/۰۱               | اسید فسفریک           |
| ۱/۶۲۳                              | ۰/۲۴۵                                | ۲۷۵/۹            | ۰/۰۰               |                       |
| ۱/۰۹۰                              | ۰/۲۹۳                                | ۲۴۵/۱            | ۰/۱                |                       |
| ۰/۳۶۷                              | ۰/۳۴                                 | ۱۷۸/۴            | ۰/۰                |                       |
| ۹/۳۵                               | ۰/۲۲۲*                               | ۳۲۴/۱            | ۰/۰۱               | فسفات دی هیدروژن سدیم |
| ۲/۰۷                               | ۰/۲۵۸                                | ۲۴۰              | ۰/۰۰               |                       |
| ۱/۲۳۹                              | ۰/۳۰۲                                | ۲۱۲/۳            | ۰/۱                |                       |
| ۰/۲۹                               | ۰/۳۶۴                                | ۱۴۴/۳            | ۰/۰                |                       |
| ۴/۳۴۸                              | ۰/۲۲۱*                               | ۳۱۲/۴            | ۰/۰۱               | فسفات هیدروژن دی سدیم |
| ۱/۰۸۴                              | ۰/۲۶۳                                | ۲۳۶/۴            | ۰/۰۰               |                       |
| ۰/۶۴۹                              | ۰/۳۱۴                                | ۱۹۹/۳            | ۰/۱                |                       |
| ۰/۲۱۳                              | ۰/۳۹۸                                | ۱۲۲/۳            | ۰/۰                |                       |

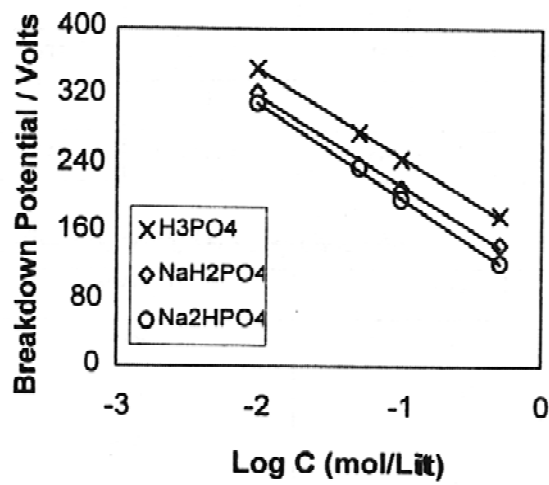
\* مقدار دانسیته جریان الکترونی در ۱۰۰ ولت اندازه گیری شده است.



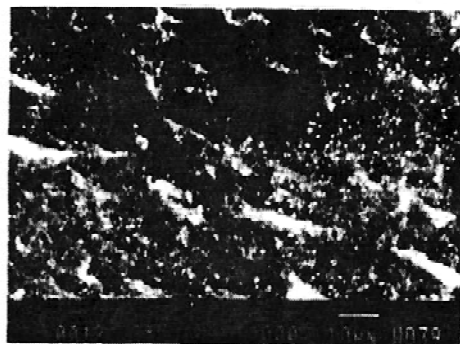
شکل ۴- منحنی تغییرات دانسیته جریان الکترونی نسبت به غلظت محلولهای مورد آزمایش



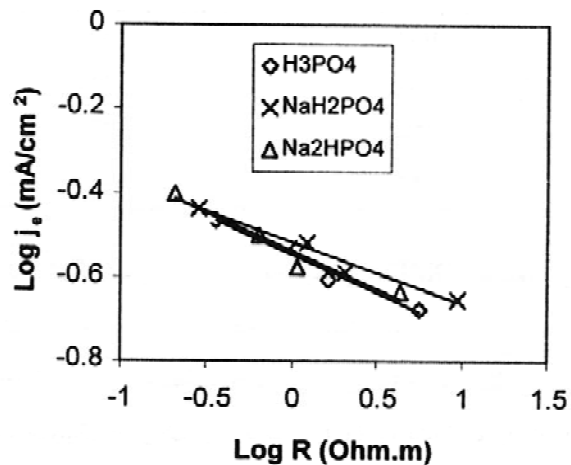
شکل ۶- منحنی تغییرات ولتاژ شکست نسبت به مقاومت محلولهای مورد آزمایش



شکل ۵- منحنی تغییرات ولتاژ شکست نسبت به مقاومت محلولهای مورد آزمایش



شکل ۷- منحنی تغییرات دانسیته چربی الکترونی سطح تیتانیم آندایز شده در محلول اسید فسفریک ۵٪ مولار



می شود، مقدار  $\alpha$  با افزایش غلظت الکترولیت با احتمال اینکه نیروهای بین یونی شدید در غلظتها بالاتر متوجه به ضربه های کمتر می شوند کاهش می نابد.  
با توجه به معادله اینریزو و معادله (۹)، ولتاژ شکست ( $V_B$ ) تحت تأثیر پارامتر های  $E$ ,  $Z$ ,  $a$ ,  $j_0$  و  $R$  بوده و نتایج بدست آمده نشان می دهند که نسبت  $E/a$  در محلولهای مورد

نسبت به مقاومت الکترولیت نشان داده و مطابق شکل، این تغییرات خطی است، مقادیر  $a$  و  $b$  ارائه شده در معادله (۳) برای محلولهای مورد آزمایش نیز در جدول (۲) آورده شده اند.  
مقادیر  $E$  و ضریب یونیزاسیون برخوردار (۶) محاسبه شده از معادله (۷) در غلظتها مختلف محلولهای مورد آزمایش در جدول (۴) آورده شده اند. همان طوری که در جدول (۴) ملاحظه

جدول ۳- ثوابت اندازه‌گیری شده در محلولهای مختلف

| $b_0$  | $a_0$<br>(mA/cm <sup>2</sup> ) | $b_B(V)$ | $a_B(v)$ | $b_C(V)$ | $a_C(v)$ | محلول آندایزینگ       |
|--------|--------------------------------|----------|----------|----------|----------|-----------------------|
| -0/18  | -0/284                         | 141/3    | 235      | 102/49   | 145/89   | اسید فسفریک           |
| -0/14  | -0/302                         | 112/2    | 203      | 105/4    | 108/9    | فسفات دی هیدروژن سدیم |
| -0/182 | -0/289                         | 102/8    | 221      | 112/23   | 88/47    | فسفات هیدروژن دی سدیم |

جدول ۴- مقادیر میدان الکتریکی (E) و ضریب یونیزاسیون پرسخور دی (a) در محلولهای مختلف

| $10^4 a(1/cm)$ | E(MV/m) | غلظت محلول (مولار) | محلول آندایزینگ       |
|----------------|---------|--------------------|-----------------------|
| 2/27           | 776     | 0/01               | اسید فسفریک           |
| 2/14           | 731     | 0/05               |                       |
| 1/92           | 655     | 0/1                |                       |
| 1/63           | 559     | 0/5                |                       |
| 2/18           | 760     | 0/01               | فسفات دی هیدروژن سدیم |
| 2/02           | 704     | 0/05               |                       |
| 1/82           | 633     | 0/1                |                       |
| 1/56           | 543     | 0/5                |                       |
| 1/97           | 720     | 0/01               | فسفات هیدروژن دی سدیم |
| 1/85           | 674     | 0/05               |                       |
| 1/68           | 613     | 0/1                |                       |
| 1/45           | 528     | 0/5                |                       |

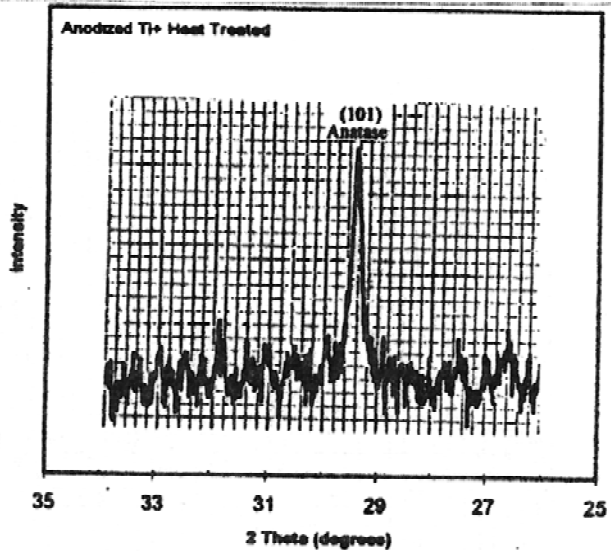
دیفراکتوگرامهای تفرق اشعه ایکس (XRD) ضخیمترین لایه آندایز ایجاد شده در محلولهای اسید فسفریک، فسفات دی هیدروژن سدیم و فسفات هیدروژن دی سدیم با غلظت ۰/۱ مولار، هیچیکی از پیکهای مربوط به  $TiO_2$  را نشان نمی‌دهند و فقط پیکهای مربوط به صفحات کریستالی (۱۰۰)، (۰۰۲)، (۰۱۱)، (۰۱۲)، (۱۱۰) و (۰۳۱) تیتانیم ملاحظه می‌شوند.

علت عدم تفرق لایه‌های آندایز می‌تواند به دلایل زیر باشد:  
الف) لایه آندایز نازک بوده و در نتیجه پیکهای تیتانیم به عنوان فلز پایه تفرق کرده‌اند.

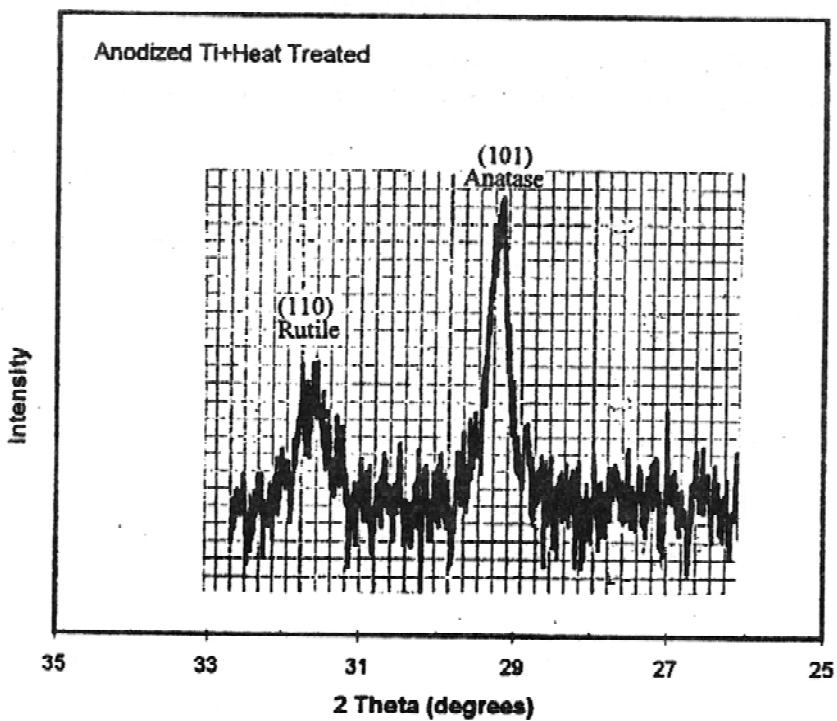
ب) لایه آندایز غیر کریستالی باشد.  
پس از عملیات حرارتی نمونه‌ها در اتمسفر حاوی گاز آرگون در دمای ۰۰۰ درجه سانتیگراد به مدت یک ساعت، پیک مربوط به  $TiO_2$  (آناتاز) در زاویه  $\theta=29/5$  و پیک مربوط به

استفاده تغییر نمی‌کند (این نسبت برای محلولهای اسید فسفریک، فسفات دی هیدروژن سدیم و فسفات هیدروژن دی سدیم به ترتیب برابر ۲۸۷، ۳۲۷ و ۳۲۴ ولتاًند). لذا می‌توان بیان کرد که افزایش جریان الکترونی اولیه، عامل اصلی کاهش ولتاژ شکست در اثر افزایش غلظت الکتروولیت بوده است که با نتایج بدست آمده توسط سایر محققان مطابقت دارد [۱۴].

تصویر میکروسکوپ الکترونی سطح تیتانیم آندایز شده در محلول اسید فسفریک ۰/۵ مولار قبل از شکست الکتریکی لایه اکسید آندی در شکل (۸) نشان داده شده است. همان‌طوری که ملاحظه می‌شود، تخلخل لایه آندایز شده کم است و این موضوع با توجه به منحنیهای پتانسیل- زمان، شکلهای (۱) تا (۳) تأیید شده است.



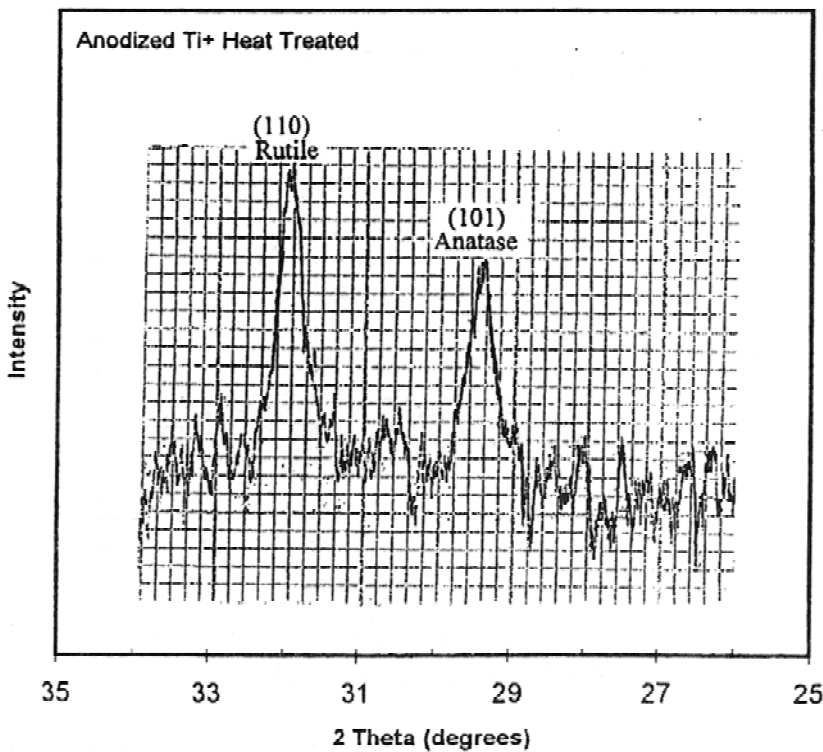
شکل ۹- دیفراکتوگرام تیتانیم آندایز شده در محلول اسید فسفریک ۱٪ مولار پس از عملیات حرارتی در دمای ۶۰۰ درجه سانتیگراد در اتمسفر حاوی گاز آرگون به مدت یک ساعت



شکل ۱۰- دیفراکتوگرام تیتانیم آندایز شده در محلول فسفات دی هیدروژن سدیم ۱٪ مولار پس از عملیات حرارتی در دمای ۶۰۰ درجه سانتیگراد در اتمسفر حاوی گاز آرگون به مدت یک ساعت

(روتیل) در زاویه  $2\theta = 32/1$  ظاهر شده‌اند که نشان‌دهنده کریستالیزاسیون ساختار در اثر عملیات حرارتی است. بنابراین می‌توان نتیجه گرفت که لایه آندایز ایجاد شده دارای ساختاری آمورف بوده است. دیفراکتوگرامهای تیتانیم آندایز شده در محلولهای مورد بررسی پس از عملیات حرارتی در شکل‌های (۹) تا (۱۱) نشان داده شده‌اند.

(روتیل) در زاویه  $2\theta = 32/1$  ظاهر شده‌اند که نشان‌دهنده کریستالیزاسیون ساختار در اثر عملیات حرارتی است. بنابراین می‌توان نتیجه گرفت که لایه آندایز ایجاد شده دارای ساختاری



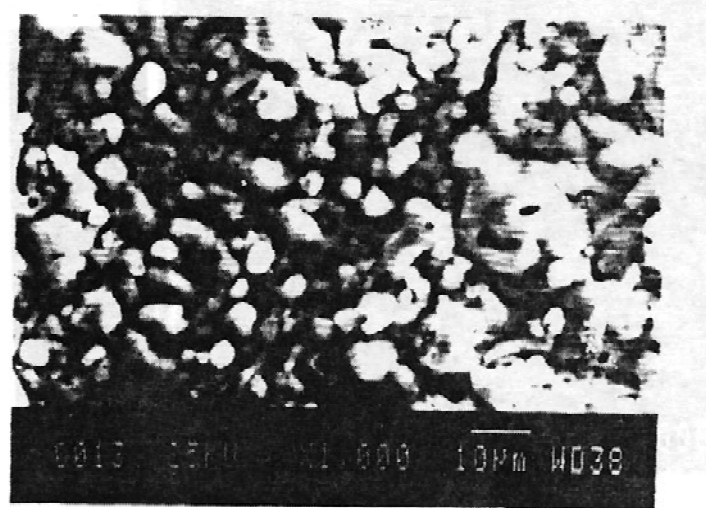
شکل ۱۱- دیفراکتوگرام تینانیم آندایز شده در محلول فسفات هیدروژن دی سدیم ۰/۰۱ مولار پس از عملیات حرارتی در دمای ۶۰۰ درجه سانتیگراد در اتمسفر حاوی گاز آرگون به مدت یک ساعت

جدول ۵- ضخامت و رنگ لایه‌های آندایز شده در محلولهای پایه فسفات

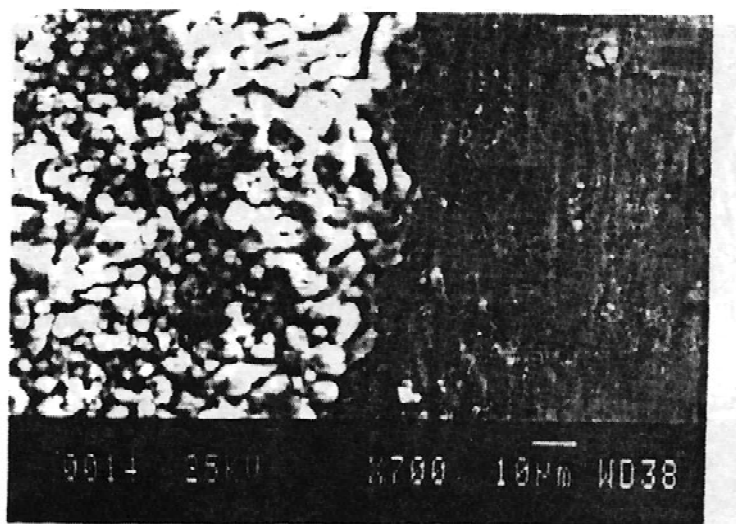
| محلو آندایزینگ        | خلطت محلول (مولار) | ضخامت لایه (میکرون) | رنگ لایه            |
|-----------------------|--------------------|---------------------|---------------------|
| اسید فسفریک           | ۰/۰۱               | ۰/۳۰۱               | صورتی               |
|                       | ۰/۰۵               | ۰/۲۰۲               | صورتی کم رنگ        |
|                       | ۰/۱                | ۰/۱۷                | زرد متعایل به صورتی |
|                       | ۰/۵                | ۰/۱۰۲               | سبز متعایل به زرد   |
| فسفات دی هیدروژن سدیم | ۰/۱۱               | ۰/۲۸۹               | صورتی               |
|                       | ۰/۰۵               | ۰/۱۹۱               | سبز پر رنگ          |
|                       | ۰/۱                | ۰/۱۶۸               | بنفش                |
|                       | ۰/۵                | ۰/۰۹                | زرد متعایل به صورتی |
| فسفات هیدروژن دی سدیم | ۰/۰۱               | ۰/۲۸۶               | سبز تیره            |
|                       | ۰/۰۵               | ۰/۱۸۹               | سبز روشن            |
|                       | ۰/۱                | ۰/۱۶۷               | صورتی               |
|                       | ۰/۵                | ۰/۰۸                | زرد طلایی           |

همان‌طوری که ملاحظه می‌شود، ساختار لایه‌شکسته شده با ساختار لایه آندایز شده در محلول اسید فسفریک، شکل (۸)، متفاوت است. تصویر میکروسکوپی الکترونی لایه تخریب شده

تصویر میکروسکوپی الکترونی لایه آندایز ایجاد شده در محلول فسفات هیدروژن دی سدیم ۰/۰۵ مولار که تحت شکست الکتریکی قرار گرفته، در شکل (۱۲) نشان داده است.



شکل ۱۲- تصویر میکروسکوپی الکترونی لایه آندایز (ایجاد شده در محلول ففات هیدروژن دی سدیم ۰/۵ مولار) شکسته شده



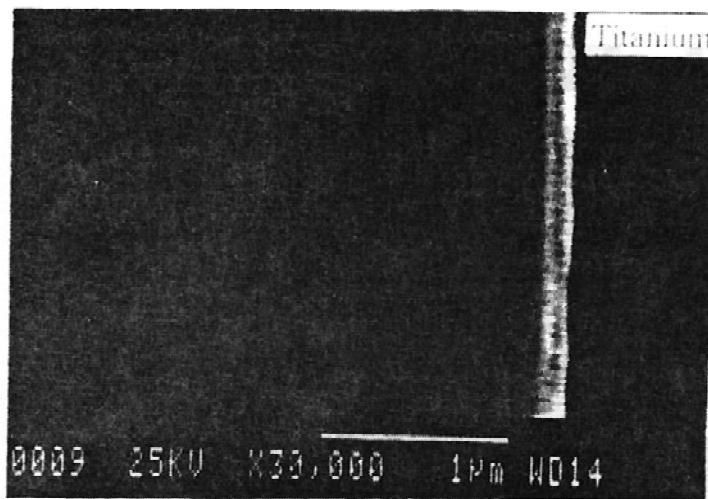
شکل ۱۳- تصویر میکروسکوپی الکترونی لایه تخریب و تخریب نشده در محلول ففات هیدروژن دی سدیم ۰/۵ مولار

شکل (۱۴)، تصویر میکروسکوپی الکترونی مقطع عرضی لایه آندایز ایجاد شده در محلول اسید فسفریک ۰/۵ مولار را نشان می‌دهد. با توجه به این شکل، لایه آندایز ایجاد شده نسبتاً یکنواخت است.

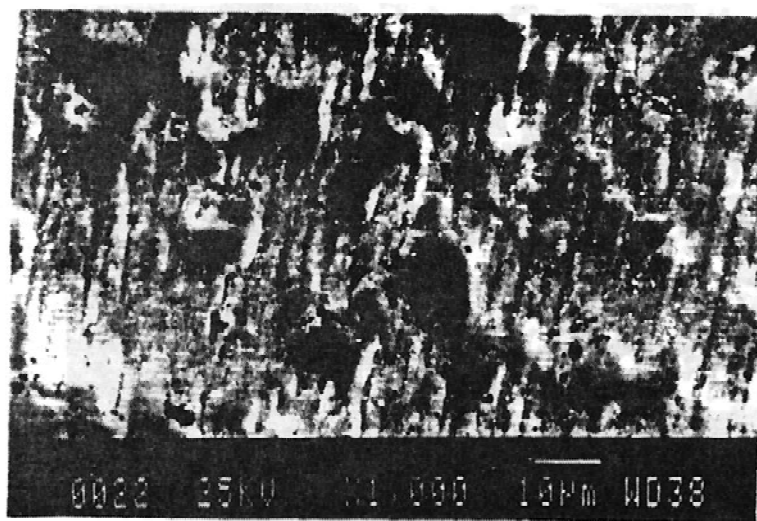
شکل (۱۵)، تصویر میکروسکوپی الکترونی لایه آندایز ایجاد شده در محلول ففات هیدروژن دی سدیم ۰/۵ مولار را پس از عملیات حرارتی نشان می‌دهد. مقایسه تصاویر شکل‌های (۱۴)

و لایه تخریب نشده در شکل (۱۳) نشان داده شده است. با توجه به این شکل، تخریب شدن لایه‌ها باعث تغییر ساختار آنها شده است.

ضخامت و رنگ لایه‌های آندایز ایجاد شده در محلول‌های مختلف در جدول (۵) آورده شده‌اند. همان‌طوری که ملاحظه می‌شود با افزایش غلظت محلول، ضخامت لایه‌ها کاهش می‌یابد.



شکل ۱۴- تصویر میکروسکوپی الکترونی مقطع عرضی لایه آندایز ایجاد شده در محلول اسید فسفریک ۰/۰۵ مولار



شکل ۱۵- تصویر میکروسکوپی الکترونی لایه آندایز ایجاد شده (در محلول فسفات هیدروژن دی سدیم ۰/۵ مولار)

پس از عملیات حرارتی در دمای ۲۰۰ درجه سانتیگراد در اتمسفر حاوی گاز آرگون به مدت پنج ساعت

رنگ آنها نیز تغییر می‌کند. ولتاژ شکست الکتریکی لایه‌های آندایز شده بستگی به نوع و غلظت محلول داشته و با افزایش غلظت، ولتاژ شکست الکتریکی لایه‌ها کاهش می‌یابد. با توجه به مدل اینزیزو، ضریب یونیزاسیون برخوردي (α)، پارامتری موثر در تغییر مقدار ولتاژ شکست در مقایسه با افزایش غلظت الکترولیت نیست. افزایش جریان الکترونی اولیه (J<sub>0</sub>) که در اثر

و (۱۵) تغییر ساختار از حالت آمورف به کریستالی را نشان می‌دهد.

#### ۴- نتیجه گیری

لایه‌های آندایز ایجاد شده، فشرده و دارای ساختار آمورف بوده و خسارت آنها با افزایش غلظت محلولها کاهش یافته و

آندایزینگ، قبل از رسیدن به ولتاژ شکست است.

افزایش غلظت محلول صورت می‌گیرد، پارامتری مؤثر در کاهش ولتاژ شکست‌لایه است، همچنین، مناسبترین زمان

#### واژه نامه

- |                                 |                                |                      |
|---------------------------------|--------------------------------|----------------------|
| 1. x-ray diffraction            | 4. threshold energy for impact | 6. interionic forces |
| 2. scanning electron microscopy | ionization                     |                      |
| 3. auger electron spectroscopy  | 5. recombination constant      |                      |

#### مراجع

1. Mizushima, W., "A Study of the Formation of Anodic Oxide Films on Titanium" Journal of Electrochemical Society, Vol 138, pp. 825-829, 1991
2. Kalra, K.C., Singh, K.C., and Singh, M., "Electrical Breakdown of Anodic Films on Ti in Aqueous Electrolytes", Journal of Electroanalytical Chemistry, Vol. 371, pp. 73-78, 1997.
3. Johansen, H.A., Adams, G.B., Rysselberghe, P. V., "Anodic Oxidation of Al, Cr, Hf, Nb, Ti, Ta, V and Zr at very low Current Densities", Journal of Electrochemical Society Vol. 137, pp. 339-346, 1993.
4. Pouilleau, J. Devilliers, D. Garrido, F., Durand-Vidal, S., Mahe, E., "Structure and Composition of Passive Ti Oxide Films" Material Science and Engineering B47, pp 235-243, 1997.
5. SAE Specification AMS 2488C, "Anodic Treatment, Titanium and Titanium Alloys", pp. 4-10, 1994.
6. Healy, K. E., Ducheyne, P., "Calcium Phosphate Naturally Formed on Titanium in Electrolyte Solution", Journal of Biomedical Materials Research, Vol. 26, pp. 319-338, 1992
7. ASM Handbook, "Corrosion", Vol.13, 8<sup>th</sup> Edition, pp. 390-395, 1990 .
8. Goossens, "Anodic Oxidation of Titanium in  $H_2SO_4$ ", Surface Science, Vol. 737, pp. 390-398, 2000.
9. Pan, J., Thierry D. and C. Leygraf, "Electrochemical and XPS Studies of Titanium for Biomaterial Applications with Respect to the Effect of Hydrogen Peroxide", Journal of Biomedical Materials Research, Vol. 28, pp. 113-122, 1994.
10. Hugot-Le, A., Goff, L., "Structure of very thin  $TiO_2$  Films Studied by Raman Spectroscopy with Interference Enhancement", Thin Solid Films, 142, pp. 193-197, 1996.
11. Thomas, N.T., Nobe, K., "The Electrochemical Behaviour of Titanium, Effect of pH and Chloride Ions", Journal of Electrochemical Society, Vol. 139, pp. 1450-1456, 1992
12. Arsov, L. D., Kormann, C., Plieth, W., "Electrical Breakdown of Anodic Films at high Voltage", Journal of Electrochemical Society, Vol. 138, pp. 2964-2970, 1991.
13. Kinard, L., United States Patent, No. 5, 837, 121, "Method for Anodizing Valve Metal" , pp. 5-9, 1999.
14. Kalra K.C., Singh K.C., Singh, M., "Dielectric Measurements and Effect of Added Chloride Ions-studies of Anodic Oxide Films Formed on Titanium in Electrolytes", Journal of Electrochemical Society India, Vol. 44, pp. 31-36, 1995.